

УДК 531.38

©2003. И.Н. Гашененко

ИНТЕГРАЛЬНЫЕ МНОГООБРАЗИЯ В ЗАДАЧЕ О ДВИЖЕНИИ ТЯЖЕЛОГО ТВЕРДОГО ТЕЛА

В задаче Эйлера о движении тяжелого твердого тела вокруг неподвижной точки изучаются трехмерные алгебраические поверхности интегральных уровней и их топологические бифуркции. В предположении, что центр масс тела лежит в главной плоскости инерции, исследовано трехпараметрическое семейство бифуркационных диаграмм и составлен полный список неособых интегральных многообразий. Обсуждаются вопросы устойчивости равномерных вращений тела вокруг вертикали.

Введение. Движение тяжелого тела вокруг неподвижной точки описывается дифференциальными уравнениями Эйлера–Пуассона

$$A\dot{\omega} = A\omega \times \omega + \mathbf{r} \times \boldsymbol{\nu}, \quad \dot{\boldsymbol{\nu}} = \boldsymbol{\nu} \times \omega, \quad (1)$$

где $A = \text{diag}(A_1, A_2, A_3)$ – тензор инерции, ω – угловая скорость тела в подвижных осях, $\boldsymbol{\nu}$ – единичный вектор вертикали и \mathbf{r} – вектор, направленный из неподвижной точки к центру масс тела. Три алгебраических интеграла уравнений (1) известны:

$$H = \frac{1}{2} A\omega \cdot \omega - \mathbf{r} \cdot \boldsymbol{\nu} = h, \quad G = A\omega \cdot \boldsymbol{\nu} = g, \quad I = \boldsymbol{\nu} \cdot \boldsymbol{\nu} = 1. \quad (2)$$

Рассмотрим отображение

$$\mathcal{F} = H \times G : \mathbb{R}^3(\omega) \times S^2(\gamma) \rightarrow \mathbb{R}^2(h, g),$$

называемое интегральным. Множество его критических точек состоит из тех точек, в которых интегралы (2) зависят. Образом множества критических точек отображения \mathcal{F} является бифуркационная диаграмма Σ в плоскости $\mathbb{R}^2(h, g)$. В каждой точке бифуркационной диаграммы отображение \mathcal{F} не является локально расслаивающим. Прообразы $\mathcal{Q}_{h,g}^3 = \mathcal{F}^{-1}(h, g)$ играют важную роль в качественном анализе движений, так как они инвариантны относительно фазового потока динамической системы (1). Зафиксируем константы интегралов (2), тогда трехмерное множество уровней первых интегралов

$$\mathcal{Q}_{h,g}^3 = \{H = h, G = g, I = 1\} \subset \mathbb{R}^3(\omega) \times \mathbb{R}^3(\gamma), \quad (3)$$

будем называть *интегральным многообразием* или, следуя терминологии [1], изоэнергетической поверхностью. Для регулярных значений интегрального отображения \mathcal{F} множество $\mathcal{Q}_{h,g}^3$ является гладким многообразием с заданной топологией. Топологический тип $\mathcal{Q}_{h,g}^3$ изменяется в критических значениях (h, g) , которые принадлежат бифуркационному множеству $\Sigma \subset \mathbb{R}^2(h, g)$. Приведенным (эффективным) потенциалом называют функцию

$$U_g(\boldsymbol{\nu}) = \frac{g^2}{2(A\boldsymbol{\nu} \cdot \boldsymbol{\nu})} - \mathbf{r} \cdot \boldsymbol{\nu},$$

заданную на сфере Пуассона $S^2 = \{|\boldsymbol{\nu}| = 1\}$. Топология изоэнергетических поверхностей $\mathcal{Q}_{h,g}^3$ и их перестройки при изменении значения энергии h полностью определяются функцией $U_g(\boldsymbol{\nu})$. Пусть $\pi : (\omega, \boldsymbol{\nu}) \mapsto \boldsymbol{\nu}$ есть проекция пространства $\mathbb{R}^3(\omega) \times \mathbb{R}^3(\boldsymbol{\nu})$

на второй сомножитель, тогда область возможности движения

$$\mathcal{U}_{h,g} = \{U_g(\boldsymbol{\nu}) \leq h\} \subset S^2$$

является проекцией $\pi(\mathcal{Q}_{h,g}^3)$ многообразия $\mathcal{Q}_{h,g}^3$ на сферу Пуассона. Слой над произвольной точкой $(\nu_1, \nu_2, \nu_3) \in S^2$ гомеоморfen либо окружности (если $\boldsymbol{\nu} \in \mathcal{U}_{h,g} \setminus \partial \mathcal{U}_{h,g}$), либо точке (если $\boldsymbol{\nu} \in \partial \mathcal{U}_{h,g}$), либо пуст (если $\boldsymbol{\nu} \notin \mathcal{U}_{h,g}$). Следовательно, топологически $\mathcal{Q}_{h,g}^3$ может быть описано следующим образом [1]. Если проекция $\mathcal{U}_{h,g}$ совпадает со всей сферой Пуассона, то $\mathcal{Q}_{h,g}^3$ представляет собой S^1 -расслоение над сферой, топологически эквивалентное расслоению единичных касательных векторов. Если $\mathcal{U}_{h,g}$ не совпадает со всей сферой, то есть имеет дырки, то $\mathcal{Q}_{h,g}^3$ можно получить из прямого произведения $\mathcal{U}_{h,g} \times S^1$, если над каждой граничной точкой проекции $\mathcal{U}_{h,g}$ слой S^1 сжать в точку S^0 . Таким образом, справедливы следующие утверждения [1]:

ТЕОРЕМА 1.

- Если h меньше минимального значения функции $U_g(\boldsymbol{\nu})$, то $\mathcal{Q}_{h,g}^3$ – пусто.
- Если h больше максимального значения функции $U_g(\boldsymbol{\nu})$, то $\mathcal{Q}_{h,g}^3$ гомеоморфно проективному пространству \mathbb{RP}^3 .
- Если h не является критическим значением функции $U_g(\boldsymbol{\nu})$, то $\mathcal{Q}_{h,g}^3$ является гладким трехмерным ориентируемым многообразием. В этом случае множество $\mathcal{U}_{h,g}$ на сфере Пуассона есть объединение $D_{i_1}^2 \cup \dots \cup D_{i_m}^2$ непересекающихся двумерных подмногообразий с краем, где D_k^2 – 2-диск с k дырками, а многообразие $\mathcal{Q}_{h,g}^3$ гомеоморфно несвязному объединению $N_{i_1}^3 \cup \dots \cup N_{i_m}^3$ трехмерных многообразий, где $N_0^3 \equiv S^3$ – трехмерная сфера, а N_k^3 (при $k \geq 1$) – это связная сумма k экземпляров $S^1 \times S^2$.

Программа интенсивного топологического изучения интегральных многообразий механических систем с симметрией была предложена С.Смейлом [2]. В соответствии с этой программой (ее развернутое изложение имеется в [3]) изучение фазовых траекторий исходной системы (1) сводится, во-первых, к описанию бифуркационных диаграмм $\Sigma \subset \mathbb{R}^2(h, g)$ и топологии многообразий $\mathcal{Q}_{h,g}^3$ и, во-вторых, к исследованию поведения динамической системы на каждой отдельной поверхности $\mathcal{Q}_{h,g}^3$. Идеи Смейла нашли успешное применение во многих классических и современных задачах механики [1, 4-6]. В задаче Эйлера о движении тяжелого твердого тела вокруг неподвижной точки интегральные многообразия и их топологические бифуркации изучали А.Якоб [3], С.Б.Каток [7] и Я.В.Татаринов [4, 8, 9]. Эти важные результаты были отмечены в монографиях [10, 11]. Затем исследования были продолжены в работах [12, 13]. Однако, общая проблема классификации возможных интегральных многообразий оказалась более сложной, чем это предполагалось ранее.

В этой работе предложен метод, позволяющий полностью описать бифуркации интегральных многообразий в случае, когда центр масс тела принадлежит главной плоскости инерции. Проанализировано трехпараметрическое семейство бифуркационных диаграмм и изучено пятипараметрическое семейство интегральных многообразий. В результате исследования получено 46 типов невырожденных бифуркационных диаграмм и обнаружено гладкое интегральное многообразие $\mathcal{Q}_{h,g}^3 = N_3^3$, не имеющее аналога ни в одном из случаев, изученных ранее [3, 4, 7].

Структура особых интегральных многообразий позволяет анализировать устойчивость стационарных вращений. В работе [8] доказано, что критические точки приведенного потенциала $U_g(\boldsymbol{\nu})$ находятся во взаимно однозначном соответствии с относительными равновесиями исходной механической системы. В задачах динамики твердого тела равномерные вращения являются относительными равновесиями. Переходим к их краткому описанию.

1. Равномерные вращения тела вокруг вертикали. Если угловая скорость неизменна в теле ($\boldsymbol{\omega} = \text{const}$), тогда она неизменна и в пространстве: тело равномерно вращается вокруг неподвижной оси, вдоль которой направлен вектор $\boldsymbol{\omega}$. Из первого уравнения (1) следует простое равенство

$$(A\boldsymbol{\omega} \times \boldsymbol{\omega}) \cdot \mathbf{r} = 0, \quad (4)$$

которое показывает, что три постоянных в теле вектора $A\boldsymbol{\omega}, \boldsymbol{\omega}, \mathbf{r}$ лежат в одной плоскости. Уравнение (4) определяет *конус Штауде*, неизменно связанный с телом. Этот конус второго порядка задан в подвижном базисе и является геометрическим местом осей равномерных вращений. С помощью первых интегралов (2) можно показать, что единичный вектор $\boldsymbol{\nu}$ сохраняет свое направление в теле, а не только в пространстве. Следовательно, осью равномерного вращения тела в пространстве может служить только вертикаль

$$\boldsymbol{\omega} = \pm |\boldsymbol{\omega}| \boldsymbol{\nu}. \quad (5)$$

Уравнение

$$(A_2 - A_3)\nu_2\nu_3r_1 + (A_3 - A_1)\nu_3\nu_1r_2 + (A_1 - A_2)\nu_1\nu_2r_3 = 0 \quad (6)$$

определяет на единичной сфере Пуассона линию пересечения конуса осей равномерных вращений с этой сферой. Осями равномерных вращений могут быть лишь те из образующих конуса Штауде, для которых векторное уравнение $(A\boldsymbol{\nu} \times \boldsymbol{\nu})|\boldsymbol{\omega}|^2 + \mathbf{r} \times \boldsymbol{\nu} = 0$, полученное подстановкой (5) в первое уравнение (1), позволяет определить неотрицательную величину $|\boldsymbol{\omega}|^2$. Все такие образующие конуса (4), а также соответствующие им точки сферической кривой (6) О.Штауде называл *допустимыми* [14].

Пусть центр масс твердого тела расположен в главной плоскости инерции, тогда без ограничения общности можно положить

$$|\mathbf{r}| = 1, \quad r_1 > 0, \quad r_2 > 0, \quad r_3 = 0, \quad A_1 > A_2. \quad (7)$$

При этом следует, что конус (4) вырождается в пару пересекающихся плоскостей. Сферическая кривая (6) в данном случае состоит из двух ортогональных окружностей большого круга:

$$\nu_3 = 0, \quad (A_2 - A_3)\nu_2r_1 + (A_3 - A_1)\nu_1r_2 = 0. \quad (8)$$

Компоненты постоянных векторов $\boldsymbol{\omega}, \boldsymbol{\nu}$, соответствующих равномерным вращениям, запишем в виде двух семейств, зависящих от параметров τ, σ :

$$\begin{aligned} \nu_3 = \omega_3 = 0, \quad \nu_1 = -(1 + \tau^2)^{-\frac{1}{2}}, \quad \nu_2 = \tau(1 + \tau^2)^{-\frac{1}{2}}, \quad \omega_1 = \mu\nu_1, \quad \omega_2 = \mu\nu_2, \\ \mu = \left| \frac{(r_1\tau + r_2)(1 + \tau^2)^{\frac{1}{2}}}{(A_1 - A_2)\tau} \right|^{\frac{1}{2}}, \quad \tau \in \mathbb{R}; \end{aligned} \quad (9)$$

$$\begin{aligned}\nu_1 &= \frac{r_1\sigma^2}{A_3 - A_1}, \quad \nu_2 = \frac{r_2\sigma^2}{A_3 - A_2}, \quad \nu_3 = \pm(1 - \sigma_0\sigma^4)^{\frac{1}{2}}, \quad \omega_i = \sigma^{-1}\nu_i, \\ \sigma_0 &= \frac{r_1^2}{(A_1 - A_3)^2} + \frac{r_2^2}{(A_2 - A_3)^2}, \quad \sigma \in \mathbb{R}.\end{aligned}\tag{10}$$

Величина $\mu^2 = |\boldsymbol{\omega}|^2$ принимает неотрицательные значения, следовательно, знак функции $(1 + \tau^2)^{\frac{1}{2}}$ должен совпадать со знаком выражения $\tau/(r_1\tau + r_2)$. В случаях осевой симметрии эллипсоида инерции ($A_1 = A_3$ или $A_2 = A_3$) семейство (10) не существует.

2. Бифуркационное множество. Подставим компоненты постоянных векторов $\boldsymbol{\omega}, \boldsymbol{\nu}$, заданные параметрическими зависимостями (9), (10), в интегралы H, G . В результате найдем параметрические уравнения бифуркационного множества $\Sigma \subset \mathbb{R}^2(h, g)$. Образом множества критических точек (9) интегрального отображения \mathcal{F} является бифуркационная кривая B_1 , описываемая уравнениями

$$\begin{aligned}h &= \frac{A_2 r_1 \tau^3 + (3A_2 - 2A_1)r_2 \tau^2 + (3A_1 - 2A_2)r_1 \tau + A_1 r_2}{2(A_1 - A_2)\tau(\tau^2 + 1)^{\frac{1}{2}}}, \\ g &= \frac{(A_1 + A_2\tau^2)|r_1\tau + r_2|^{\frac{1}{2}}}{|\tau|^{\frac{1}{2}}(A_1 - A_2)^{\frac{1}{2}}(\tau^2 + 1)^{\frac{3}{4}}},\end{aligned}\tag{11}$$

где $\tau \in (-\infty, -r_2 r_1^{-1}] \cup [-r_2 r_1^{-1}, 0) \cup (0, \infty)$. Множеству критических точек (10) соответствует бифуркационная кривая B_2 :

$$\begin{aligned}h &= \frac{1}{2} \frac{A_3}{\sigma^2} + \frac{3}{2} \sigma^2 \sigma_*, \\ g &= \frac{A_3}{\sigma} + \sigma^3 \sigma_*, \quad 0 < |\sigma| < \sigma_0^{-\frac{1}{4}},\end{aligned}\tag{12}$$

где $\sigma_* = r_1^2(A_1 - A_3)^{-1} + r_2^2(A_2 - A_3)^{-1}$.

Уравнениями (11), (12) задано трехпараметрическое семейство бифуркационных диаграмм на плоскости $\mathbb{R}^2(h, g)$. В качестве независимых параметров, характеризующих распределение масс в твердом теле, выберем величины

$$\alpha = A_2/A_1, \quad \beta = A_3/A_1, \quad r_* = r_2/r_1.$$

Бифуркационная диаграмма Σ состоит из гладких дуг, которые могут пересекаться и касаться друг друга в некоторых точках. Изучим особые точки диаграммы Σ .

Значению параметра $\tau_0 = r_*(1 - \beta)/(\beta - \alpha)$ соответствует точка кривой B_1 , в которой начинается допустимая ветвь бифуркационной кривой B_2 . Эту точку ветвления бифуркационной диаграммы $\Sigma \subset \mathbb{R}^2(h, g)$ обозначим через P_0 . Существуют три варианта возможных расположений кривой B_2 по отношению к B_1 . Если $\tau_0 \in (-\infty, -r_*]$, то P_0 принадлежит ветви кривой B_1 , проходящей через точку $(h, g) = (|\mathbf{r}|, 0)$; если $\tau_0 \in [-r_*, 0)$, то P_0 принадлежит ветви, проходящей через точку $(h, g) = (-|\mathbf{r}|, 0)$; если $\tau_0 \in (0, \infty)$, то P_0 принадлежит той ветви кривой B_1 , которая не пересекает ось Oh на плоскости $\mathbb{R}^2(h, g)$. Расположение точки P_0 на одной из трех ветвей кривой B_1 полностью определено значениями параметров α, β , изменением одного лишь параметра r_* точку P_0 нельзя переместить на другую ветвь. В результате несложных вычислений находим, что при выполнении условий $\beta > 1 > \alpha$ значение τ_0 всегда принадлежит интервалу $(-r_*, 0)$. На рис. 1, а показана диаграмма, соответствующая этому случаю.

При выполнении условий $1 > \beta > \alpha$ значение τ_0 принадлежит интервалу $(0, \infty)$. Для этого варианта бифуркационная диаграмма изображена на рис. 1, б. При выполнении условий $1 > \alpha > \beta$ значение τ_0 всегда принадлежит интервалу $(-\infty, -r_*)$, соответствующая диаграмма изображена на рис. 1, в.

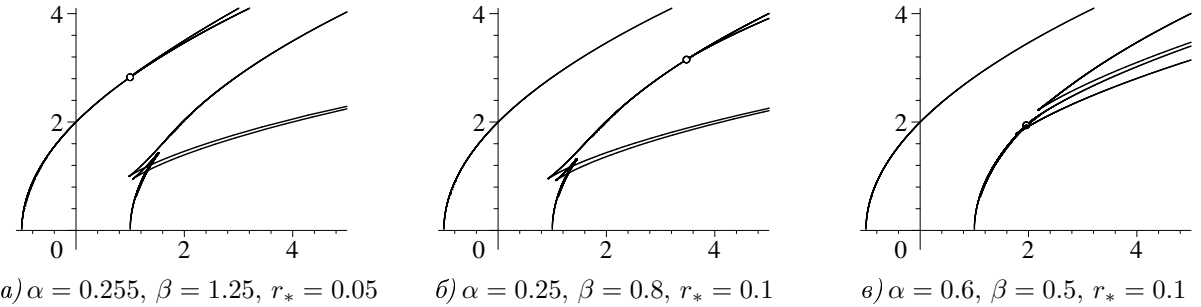


Рис. 1. Бифуркационные диаграммы на плоскости $\mathbb{R}^2(h, g)$.

Величина A_3 не входит в уравнение (11), поэтому нам нужно изучить зависящее от r_* , α двухпараметрическое семейство плоских алгебраических кривых. Особые точки кривой B_1 найдем из условий $dh/d\tau = dg/d\tau = 0$. Непосредственным дифференцированием получим следующие выражения:

$$\begin{aligned} g \frac{dg}{d\tau} &= (\tau^2 + 1)^{-1}(A_1 + A_2\tau^2) \frac{dh}{d\tau}, \\ \frac{dh}{d\tau} &= \frac{A_1 r_1 \varphi_1(\tau)}{2(A_1 - A_2)\tau^2(\tau^2 + 1)^{\frac{3}{2}}}, \\ \varphi_1(\tau) &= \alpha\tau^5 + (4\alpha - 3)\tau^3 + (3\alpha - 4)r_*\tau^2 - r_*. \end{aligned} \quad (13)$$

Таким образом, особым точкам бифуркационной кривой B_1 соответствуют значения параметра τ , являющиеся действительными решениями уравнения $\varphi_1(\tau) = 0$, или

$$\alpha\tau^5 + (4\alpha - 3)\tau^3 + (3\alpha - 4)r_*\tau^2 - r_* = 0. \quad (14)$$

Число особых точек кривой B_1 зависит от числа действительных корней этого уравнения. Можно показать, что уравнение (14) с действительными коэффициентами имеет не более трех действительных корней. Вычислим число перемен знаков у коэффициентов полинома $\varphi_1(\tau)$ и применим, например, теорему Декарта: *число положительных корней полинома с действительными коэффициентами равно или на четное число меньшее числа перемен знаков в ряду его коэффициентов*. Получим, что при $\alpha \in (0, 1)$ уравнение (14) имеет только один положительный корень. Далее рассмотрим полином $\varphi_1(-\tau)$ и с помощью той же теоремы оценим число отрицательных корней. Получим, что при $\alpha \in (0, 3/4)$ уравнение (14) имеет не более двух отрицательных корней, а при $\alpha \in [3/4, 1)$ отрицательных корней не существует. Запишем $\varphi_1(\tau)$ в виде

$$\varphi_1(\tau) = (\alpha\tau^2 + 1)(\tau^3 - r_*) + 4(\alpha - 1)(\tau + r_*)\tau^2,$$

откуда сразу следует, что действительные корни уравнение (14) расположены вне отрезка $[-r_*, r_*^{\frac{1}{3}}]$, так как для всех $\tau \in [-r_*, r_*^{\frac{1}{3}}]$ выполнено неравенство $\varphi_1(\tau) < 0$. Заметим,

что с помощью неравенства $\tau < r_*^{\frac{1}{3}}$ В.В.Румянцев записал одно из достаточных условий устойчивости равномерных вращений (см. неравенство (2.24) в работе [14]).

Найдем значения параметров (α, r_*) , при которых кривая B_1 имеет одну либо три особые точки. Приравнивая нулю дискриминант уравнения (14)

$$\alpha(4 - 3\alpha)^5 r_*^4 - 2c_1 r_*^2 + (4\alpha - 3)^5 = 0, \quad (15)$$

где $c_1 = 128(\alpha^6 + 1) - 1350(\alpha^4 + 1)\alpha + 4134(\alpha^2 + 1)\alpha^2 - 5825\alpha^3$, получим уравнение разделяющей кривой на плоскости параметров (α, r_*) . Если зафиксировать значение $\alpha \in (0, 3/4)$, то из уравнения (15) можно найти единственное положительное решение $r_* = \rho_1(\alpha)$. Для всех достаточно малых значений параметра $r_* < \rho_1(\alpha)$ уравнение (14), разрешенное относительно τ , имеет три различных действительных корня $\tau_1 > 0 > \tau_2 > \tau_3$, которые соответствуют точкам возврата P_1, P_2, P_3 бифуркационной кривой B_1 . Если существуют отрицательные корни уравнения (14), то они принадлежат интервалу $(-\infty, -r_*)$. Точки возврата не принадлежат ветви кривой B_1 , которая соответствует $\tau \in [-r_*, 0]$.

Теперь найдем условие, при выполнении которого кривая B_2 имеет точку возврата. В особых точках кривой B_2 должны выполняться равенства $dh/d\sigma = dg/d\sigma = 0$. Дифференцированием (12) находим

$$\frac{dg}{d\sigma} = 3\sigma^2\sigma_* - \frac{A_3}{\sigma^2}, \quad \frac{dh}{d\sigma} = 3\sigma\sigma_* - \frac{A_3}{\sigma^3}. \quad (16)$$

Следовательно, координаты искомой особой точки (обозначим ее через P_4) можно получить подстановкой $\sigma = A_3^{1/4}(3\sigma_*)^{-1/4}$ в параметрические уравнения (12). При выполнении условия

$$3\sigma_* > A_3\sigma_0 \quad (17)$$

особая точка P_4 принадлежит допустимой ветви бифуркационной кривой B_2 . Заметим, что неравенство (17) позволяет выделить в пространстве параметров область устойчивых равномерных вращений твердого тела [9]. Подставим выражения σ_0, σ_* в неравенство (17) и с помощью обозначения

$$\rho_2 = \frac{|\alpha - \beta|}{(1 - \beta)} \frac{(3 - 4\beta)^{\frac{1}{2}}}{(4\beta - 3\alpha)^{\frac{1}{2}}} \quad (18)$$

сформулируем следующее утверждение: если $\beta \geq 3/4$, то условие (17) не выполняется; если $3\alpha < 4\beta < 3$, то (17) выполняется только для достаточно малых положительных значений $r_* < \rho_2(\alpha, \beta)$; если $3\alpha \geq 4\beta$, то условие (17) выполняется для всех $r_* > 0$.

Изучим возможное расположение точки ветвления P_0 по отношению к точкам P_1, P_2, P_3 бифуркационной кривой B_1 . Подставим значение τ_0 в уравнение (14):

$$\alpha(\beta - 1)^5 r_*^4 + (\beta - 1)^2(\beta - \alpha)^2(3\alpha^2 + \alpha\beta - 8\alpha + \beta + 3)r_*^2 + (\beta - \alpha)^5 = 0. \quad (19)$$

Если $1 > \beta > \alpha$, то уравнение (19) имеет только один действительный положительный корень ρ_3 . Если $3/4 > \alpha > \beta$, то при выполнении дополнительного условия

$$9\alpha^2 + \beta^2 + 6\alpha\beta - 30\alpha + 6\beta + 9 \geq 0 \quad (20)$$

уравнение (19) имеет два действительных положительных корня ρ_3, ρ'_3 . Если $\beta = \alpha$, то все корни (19) равны нулю. В остальных случаях уравнение (19), разрешенное относительно r_* , не имеет действительных корней.

Чтобы найти точки самопересечения кривой B_1 составим из правых частей (11) функции, соответствующие $h^2, h/g^2$, и приравняем значения этих функций в двух различных точках τ, τ' . В результате получим систему из двух полиномиальных уравнений от неизвестных τ, τ' . После исключения τ' получим одно уравнение $\varphi_2(\tau) = 0$, действительные решения которого определяют все точки самопересечения бифуркационной кривой B_1 . Полином $\varphi_2(\tau)$ имеет кратные корни только тогда, когда параметры α, r_* , удовлетворяющие условиям (7), связаны соотношением (15) либо соотношением

$$\alpha(4 - 3\alpha)^5 r_*^8 + 2\alpha c_2 r_*^6 - 3c_3 r_*^4 + 2\alpha \tilde{c}_2 r_*^2 + \alpha^2(4\alpha - 3)^5 = 0, \quad (21)$$

где полиномиальные коэффициенты имеют вид

$$c_2 = 17\alpha^6 - 228\alpha^5 + 5832\alpha^4 - 12240\alpha^3 + 8757\alpha^2 - 2664\alpha + 528, \quad \tilde{c}_2 = \alpha^6 c_2(\alpha^{-1}),$$

$$c_3 = 9(\alpha^8 + 1) - 76(\alpha^6 + 1)\alpha + 720(\alpha^4 + 1)\alpha^2 - 7536(\alpha^2 + 1)\alpha^3 + 13764\alpha^4.$$

С учетом неравенств $0 < \alpha < 1$ уравнение (21) имеет один действительный положительный корень ρ_4 . Дальнейший анализ полиномиального уравнения $\varphi_2(\tau) = 0$ приводит к следующим утверждениям: если $\alpha \in [3/4, 1)$, то кривая B_1 не имеет самопересечений; если $\alpha \in (0, 3/4)$ и выполнены условия $\rho_4 < r_* < \rho_1$, то кривая B_1 имеет одну точку самопересечения; если $\alpha \in (0, 3/4)$ и, кроме того, $r_* < \rho_4$, то кривая B_1 имеет три точки самопересечения.

3. Классификация бифуркационных диаграмм. Если центр масс тела принадлежит главной оси инерции, то из результатов С.Б.Каток [7] следует, что в этом случае существуют семь типов бифуркационных диаграмм общего положения. Диаграммы характеризуются значениями параметров α, β и, следовательно, на плоскости $\mathbb{R}^2(\alpha, \beta)$ существуют двумерные области, соответствующие различным типам диаграмм. Любая невырожденная диаграмма может быть отнесена к одному из этих семи типов.

Теперь пусть центр масс тела находится в главной плоскости инерции. При выполнении условий (7) область

$$D = \{\alpha, \beta : \alpha < 1, \alpha > \beta - 1, \alpha > 1 - \beta\}$$

состоит из допустимых значений параметров α, β . В области D главные моменты инерции удовлетворяют неравенствам треугольника. Если величина r_2 является малой, то вырождение диаграмм происходит на множестве

$$R_1 = \{\beta = 1, \alpha \in (0, 1)\} \cup \{\alpha = 3/4, \beta \in (1/4, 7/4)\} \cup \{\beta = 3/4, \alpha \in (1/4, 1)\} \cup$$

$$\cup \{\alpha = \beta \in (1/2, 1)\} \cup \{\alpha = \frac{(9 - 8\beta)}{(5 - 4\beta)^2}, \beta \in (\beta_0, 3/4)\} \cup \{\beta = \frac{(9 - 8\alpha)}{(5 - 4\alpha)^2}, \alpha \in (\alpha_0, 3/4)\},$$

где $\alpha_0 = \beta_0 \approx 0.4647$. Множество R_1 делит область D на десять подобластей (см. рис. 2, б) с различными типами бифуркационных диаграмм общего положения. Если величина r_1 является малой, то параметры α, β , принадлежащие множеству

$$R_2 = \{\alpha = \beta \in (1/2, 1)\} \cup \{\beta = 1, \alpha \in (0, 1)\} \cup \{3\alpha = 4\beta, \beta \in (3/7, 3/4)\},$$

соответствуют вырождению бифуркационных диаграмм. Множество R_2 разбивает D на четыре подобласти (см. рис. 2, в) с различными типами диаграмм.

Случай $r_1 r_2 r_3 \neq 0$, когда центр масс тела находится вблизи главной оси инерции, рассмотрен в [12]. Исследовано бифуркационное множество, включающее диаграммы четырех видов. При этом допущена неточность в описании возможных типов многообразий $\mathcal{Q}_{h,g}^3, \mathcal{U}_{h,g}$ – их оказалось меньше, чем в предельном случае, рассмотренном в [7]. Например, на рис. 2, I в работе [12] отмечена треугольная область, ограниченная ветвями $(cb), (ba), (kj)$, которой должны соответствовать недостающие типы многообразий $\mathcal{Q}_{h,g}^3 = S^3 \cup (S^1 \times S^2), \mathcal{U}_{h,g} = D^2 \cup (D^1 \times S^1)$.

При фиксированных значениях параметров α, β получим однопараметрическое семейство бифуркационных диаграмм, зависящих от $r_* \in (0, \infty)$. С изменением r_* диаграммы будут непрерывно деформироваться до тех пор, пока r_* не достигнет некоторого критического значения ρ_i . При этом все качественно различные диаграммы, отвечающие выбранным значениям α, β , образуют конечную последовательность. Множество $R_1 \cup R_2$ делит область D на подобласти 1 – 12 (см. рис. 2, а) с различными типами последовательностей бифуркационных диаграмм.

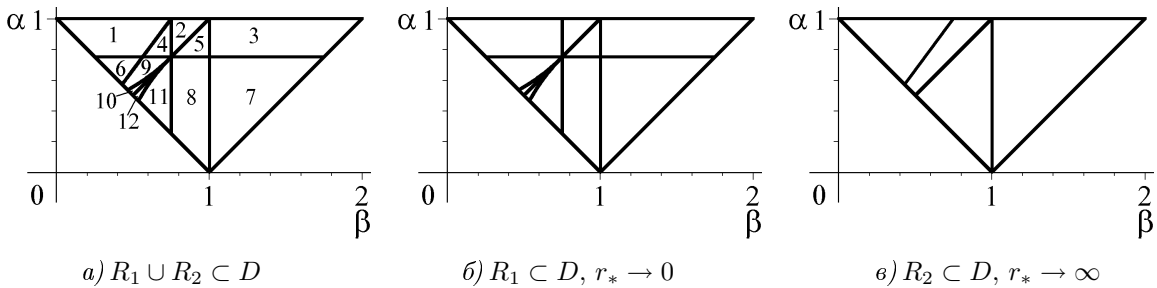


Рис. 2. Область D допустимых значений параметров α, β .

При перестройках множества Σ на кривых B_1, B_2 появляются новые особые точки. В этом случае параметры α, β, r_* принадлежат некоторой двумерной поверхности в пространстве $\mathbb{R}^3(\alpha, \beta, r_*)$. При малом возмущении такие особые точки исчезают или меняют свой тип, а вместе с тем вид диаграммы Σ качественно изменяется.

Вырождение бифуркационных диаграмм происходит, например, в осесимметричных случаях $\alpha = \beta$ и $\beta = 1$, когда кривая B_2 исчезает, а точка ветвления P_0 уходит на бесконечность. Существуют и другие случаи вырождения диаграмм. Сформулируем основные признаки, разделяющие бифуркационные диаграммы, и укажем соответствующие поверхности в пространстве параметров $\mathbb{R}^3(\alpha, \beta, r_*)$ в виде функции $r_* = \rho_i(\alpha, \beta)$:

1. $r_* = \rho_1$ – появление пары особых точек P_2, P_3 на кривой B_1 ;
2. $r_* = \rho_2$ – появление особой точки P_4 на кривой B_2 ;
3. $r_* = \rho_3, r_* = \rho'_3$ – P_0 совпадает с одной из особых точек P_1, P_2, P_3 кривой B_1 ;
4. $r_* = \rho_4$ – особая точка P_2 попадает на другую ветвь кривой B_1 ;
5. $r_* = \rho_5, r_* = \rho'_5$ – кривая B_1 пересекает кривую B_2 в особой точке P_4 ;
6. $r_* = \rho_6, r_* = \rho'_6$ – P_0 совпадает с одной из точек самопересечения кривой B_1 ;

7. $r_* = \rho_7$ – кривая B_2 проходит через точку самопересечения кривой B_1 ;
8. $r_* = \rho_8$, $r_* = \rho'_8$, $r_* = \rho''_8$ – кривая B_2 пересекает кривую B_1 в одной из особых точек P_1 , P_2 , P_3 .

Зафиксируем значения $(\alpha, \beta) \in D$, тогда вид бифуркационной диаграммы будет определяться значением параметра r_* . Вырождению диаграмм соответствуют решения полиномиальных уравнений $f_1 = 0, f_2 = 0, \dots, f_8 = 0$, а полиномы f_i имеют следующий вид:

$$\begin{aligned}
 f_1 &= \alpha(4 - 3\alpha)^5 r_*^4 - 2c_1 r_*^2 + (4\alpha - 3)^5, \\
 f_2 &= (1 - \beta)^2(4\beta - 3\alpha)r_*^2 + (\alpha - \beta)^2(4\beta - 3), \\
 f_3 &= \alpha(\beta - 1)^5 r_*^4 + (\beta - 1)^2(\beta - \alpha)^2(3\alpha^2 + \alpha\beta - 8\alpha + \beta + 3)r_*^2 + (\beta - \alpha)^5, \\
 f_4 &= \alpha(4 - 3\alpha)^5 r_*^8 + 2\alpha c_2 r_*^6 - 3c_3 r_*^4 + 2\alpha \tilde{c}_2 r_*^2 + \alpha^2(4\alpha - 3)^5, \\
 f_5 &= (1 - \beta)^3 c_4^2 r_*^4 + (1 - \beta)(\beta - \alpha)c_5 r_*^2 + (\alpha - \beta)^3 \tilde{c}_4^2, \\
 f_6 &= \alpha^2(1 - \beta)^{12} c_7^2 r_*^{12} + 2\alpha(1 - \beta)^{10}(\alpha - \beta)^2 c_8 r_*^{10} + \alpha(1 - \beta)^8(\alpha - \beta)^4 c_9 r_*^8 + \\
 &+ 4(1 - \beta)^6(\alpha - \beta)^6 c_{10} r_*^6 + (1 - \beta)^4(\alpha - \beta)^8 \tilde{c}_9 r_*^4 + 2(1 - \beta)^2(\alpha - \beta)^{10} \tilde{c}_8 r_*^2 + (\alpha - \beta)^{12} \tilde{c}_7^2, \\
 f_7 &= \alpha^2 \beta(\beta - 1)^4 c_{12}^3 r_*^8 + 4\alpha^2(\alpha - \beta)(\beta - 1)^3 c_{13} r_*^6 + \alpha(\alpha - \beta)^2(\beta - 1)^2 c_{14} r_*^4 + \\
 &+ 4\alpha(\alpha - \beta)^3(\beta - 1) \tilde{c}_{13} r_*^2 + \beta(\alpha - \beta)^4 \tilde{c}_{12}^3, \\
 f_8 &= \alpha^3(\beta - 1)^5 c_{12}^2 c_{16}^3 r_*^{10} + \alpha^2(\beta - 1)^3 c_{17} r_*^8 + 2\alpha(\alpha - \beta)(\beta - 1)^2 c_{18} r_*^6 + \\
 &+ 2(\alpha - \beta)^2(\beta - 1) \tilde{c}_{18} r_*^4 + (\alpha - \beta)^3 \tilde{c}_{17} r_*^2 + (\alpha - \beta)^5 \tilde{c}_{12}^2 \tilde{c}_{16}^3,
 \end{aligned}$$

где

$$\begin{aligned}
 c_4 &= 8\alpha^2\beta + \alpha^2 - 16\alpha\beta^2 - 8\alpha\beta + 16\beta^2, \quad \tilde{c}_4 = \alpha^3 c_4(\alpha^{-1}, \beta\alpha^{-1}), \\
 c_5 &= c_6(\alpha, \beta) + \alpha^7 c_6(\alpha^{-1}, \beta\alpha^{-1}), \quad c_6 = 512(1 - \alpha)\beta^5 + 512(\alpha - 1)\beta^4 - \\
 &- 32(13\alpha + 2)(\alpha - 1)\beta^3 + 48\alpha(\alpha - 1)\beta^2 - \alpha^2(11\alpha - 12)\beta - \alpha^3, \\
 c_7 &= 16\beta^2 + 8\alpha(\alpha - 5)\beta + \alpha^2(25 - 9\alpha), \quad \tilde{c}_7 = \alpha^3 c_7(\alpha^{-1}, \beta\alpha^{-1}), \\
 c_8 &= 768\beta^4\alpha + 128(5\alpha^3 - 25\alpha^2 - 5\alpha + 1)\beta^3 + 16\alpha(6\alpha^4 - 107\alpha^3 + \\
 &+ 258\alpha^2 + 161\alpha - 30)\beta^2 - 8\alpha^2(18\alpha^4 - 165\alpha^3 + 185\alpha^2 + 421\alpha - 75)\beta + \\
 &+ \alpha^3(54\alpha^4 - 261\alpha^3 - 210\alpha^2 + 1435\alpha - 250), \quad \tilde{c}_8 = \alpha^7 c_8(\alpha^{-1}, \beta\alpha^{-1}), \\
 c_9 &= 3840\beta^4\alpha + 1280(2\alpha^3 - 10\alpha^2 - 5\alpha + 1)\beta^3 + \\
 &+ 32(6\alpha^5 - 147\alpha^4 + 294\alpha^3 + 644\alpha^2 - 57\alpha - 20)\beta^2 - \\
 &- 16\alpha(9\alpha^5 - 120\alpha^4 - 114\alpha^3 + 1143\alpha^2 + 151\alpha - 109)\beta + \\
 &+ \alpha^2(144\alpha^4 - 2337\alpha^3 + 4290\alpha^2 + 2815\alpha - 1072), \quad \tilde{c}_9 = \alpha^7 c_9(\alpha^{-1}, \beta\alpha^{-1}), \\
 c_{10} &= c_{11}(\alpha, \beta) + \alpha^8 c_{11}(\alpha^{-1}, \beta\alpha^{-1}), \quad c_{11} = 640\beta^4\alpha^2 + 640\alpha(1 - 5\alpha)\beta^3 + \\
 &+ 8(483\alpha^3 + 84\alpha^2 - 89\alpha + 2)\beta^2 + 4\alpha(283\alpha + 25 - 948\alpha^2)\beta + 1065\alpha^4 - 291\alpha^3 - 134\alpha^2, \\
 c_{12} &= \alpha^2\beta + 8\alpha^2 - 8\alpha\beta - 16\alpha + 16\beta, \quad \tilde{c}_{12} = \alpha^3 c_{12}(\alpha^{-1}, \beta\alpha^{-1}), \\
 c_{13} &= 9(4\alpha^2 - 5\alpha + 4)(\alpha - 4)^3\beta^4 - 2(\alpha - 4)(32\alpha^5 - 55\alpha^4 + 575\alpha^3 - 1076\alpha^2 + 784\alpha + 64)\beta^3 +
 \end{aligned}$$

$$+96\alpha(2\alpha^5 - 6\alpha^4 - 41\alpha^3 + 91\alpha^2 - 48\alpha - 16)\beta^2 - 96\alpha^2(2\alpha^4 - 21\alpha^3 + 29\alpha^2 - 16)\beta + \\ +64\alpha^3(\alpha - 2)^3, \quad c_{14} = c_{15}(\alpha, \beta) + \alpha^{10}c_{15}(\alpha^{-1}, \beta\alpha^{-1}),$$

$$c_{15} = (15779\alpha^3 - 20280\alpha^2 + 6816\alpha - 128)\beta^4 + 4(\alpha + 1)(1403\alpha^3 - 1332\alpha^2 - 864\alpha + 64)\beta^3 - \\ - 192\alpha(84\alpha^3 - 61\alpha^2 - 54\alpha + 4)\beta^2 + 128\alpha^2(\alpha + 1)(76\alpha^2 - 89\alpha + 6)\beta - 256\alpha^3(12\alpha^2 - 14\alpha + 1).$$

Коэффициенты уравнения $f_8 = 0$ не приводим здесь из-за их громоздкости, а остальные коэффициенты $c_1, c_2, \tilde{c}_2, c_3$ использованы ранее в уравнениях (15), (21).

Табл. 1. Области существования бифуркационных параметров

	ρ_1	ρ_2	ρ_3	ρ'_3	ρ_4	ρ_5	ρ'_5	ρ_6	ρ'_6	ρ_7	ρ_8	ρ'_8	ρ''_8
1, 2, 3	—	—	—	—	—	—	—	—	—	—	—	—	—
4	—	+	—	—	—	—	—	—	—	—	—	—	—
5	—	—	+	—	—	—	—	—	—	—	—	—	—
6, 7	+	—	—	—	+	—	—	—	—	—	—	—	—
8	+	—	+	—	+	—	—	—	—	—	—	—	—
9	+	+	±	±	+	—	—	±	±	$< \rho_{1,2}$	+	±	±
10	+	+	+	+	+	$< \rho_2$	±	+	+	$< \rho_{1,2}$	+	±	±
11	+	+	+	—	+	—	—	—	—	—	$< \rho_6$	—	—
12	+	+	+	—	+	—	—	±	±	—	$< \rho_6$	+	—

В табл. 1 знаком “+” отмечены области, в которых действительное положительное решение $r_* = \rho_i$ уравнения $f_i = 0$ всегда существует. Бифуркационная диаграмма Σ качественно меняется, когда параметры α, β, r_* удовлетворяют уравнению $f_i = 0$. Знаком “—” в табл. 1 отмечены области, в которых уравнения $f_i = 0$ не имеют положительных решений. Знак “±” означает, что действительное положительное решение $r_* = \rho_i$ уравнения $f_i = 0$ существует только в некоторой части отмеченной области. Дополнительное условие, которое должно быть наложено на допустимые решения уравнений $f_i = 0$, записано в виде “ $< \rho_k$ ”. Нумерация областей в таблице совпадает с нумерацией областей на рис. 2, a.

Таким образом классификация возможных диаграмм Σ сведена к нахождению областей существования и исследованию возможных вариантов взаимного расположения величин ρ_i , зависящих от α, β . Предположим, что (α, β, r_*) не удовлетворяют ни одному из уравнений $f_i = 0$, тогда условиям $\beta > 1 > \alpha$ соответствуют только три вида диаграмм; условиям $1 > \beta > \alpha$ соответствуют четырнадцать видов диаграмм; условиям $1 > \alpha > \beta$ соответствуют двадцать девять качественно различных диаграмм.

ТЕОРЕМА 2. В случае, когда центр масс твердого тела лежит в одной из главных плоскостей инерции, бифуркационное множество интегрального отображения \mathcal{F} , описанное параметрическими уравнениями (11), (12), включает 46 качественно различных типов невырожденных бифуркационных диаграмм Σ на плоскости $\mathbb{R}^2(h, g)$.

4. Интегральные многообразия $\mathcal{Q}_{h,g}^3$. Бифуркационная диаграмма Σ разбивает плоскость $\mathbb{R}^2(h, g)$ на открытые двумерные области. Некоторые из этих областей ограничены, другие – уходят на бесконечность (см. рис. 1). Внутри каждой области топологическая структура многообразий $\mathcal{U}_{h,g}, \mathcal{Q}_{h,g}^3$ остается неизменной.

Следуя Я.В.Татаринову [4], введем род многообразий $\mathcal{U}_{h,g}, \mathcal{Q}_{h,g}^3$: если $\mathcal{U}_{h,g}$ можно получить из сферы удалением l дисков D^2 , то будем считать, что связные многообразия $\mathcal{U}_{h,g}, \mathcal{Q}_{h,g}^3$ имеют род l . Если интегральное многообразие несвязно, то присвоим ему многозначный род $l_1 l_2 \dots$, где l_i – род его отдельной связной компоненты. В пределах

одной связной области из $\mathbb{R}^2(h, g) \setminus \Sigma$ многозначный род $l_1 l_2 \dots$ постоянен. Более того, с изменением параметров многозначный род многообразий $\mathcal{U}_{h,g}, \mathcal{Q}_{h,g}^3$ сохраняется в процессе трансформации бифуркационной диаграммы до тех пор, пока соответствующая область не стянется в кривую или точку.

Теорема 3. Если параметры твердого тела удовлетворяют условиям (7), то на любой особой поверхности $\mathcal{Q}_{h,g}^3$ могут существовать не более четырех критических точек интегрального отображения \mathcal{F} .

Доказательство. Как следует из предыдущего анализа, бифуркационная кривая B_2 не имеет самопересечений на плоскости $\mathbb{R}^2(h, g)$, а кривая B_1 имеет только двойные точки самопересечения. Рассмотрим самый сложный случай. Если через точку самопересечения кривой B_1 проходит кривая B_2 , то полным прообразом $\mathcal{F}^{-1}(h, g)$ этой точки плоскости является особая изоэнергетическая поверхность $\mathcal{Q}_{h,g}^3$ с четырьмя критическими точками отображения \mathcal{F} . Две из них принадлежат семейству (9), две другие – семейству (10). При этом необходимо, чтобы значения параметров α, β принадлежали областям 9, 10, указанным на рис. 2, и вместе с r_* удовлетворяли уравнению $f_7 = 0$. \square

Теорема 4. Пусть распределение масс твердого тела удовлетворяет условиям (7), тогда при любом фиксированном значении интеграла G приведенный потенциал $U_g(\boldsymbol{\nu})$ имеет не менее двух, но не более десяти критических точек на сфере Пуассона.

Доказательство. Положим $g = 0$, тогда из второго уравнения (11) следует равенство $\tau = -r_*$. Подстановкой $\tau = -r_*$ в (9) находим, что при нулевом значении g приведенный потенциал $U_g(\boldsymbol{\nu})$ всегда имеет ровно две критические точки на сфере $S^2 = \{|\boldsymbol{\nu}| = 1\}$. Эти точки с координатами $\boldsymbol{\nu} = (\pm r_1, \pm r_2, 0)$ соответствуют равновесию тела, когда его центр масс занимает наивысшее или наизнешнее положения. Других пересечений с осью $O h$ бифуркационные кривые B_1, B_2 не имеют.

Пусть $g > 0$, тогда любая линия уровня $g = \text{const}$ пересекает от двух до шести гладких дуг кривой B_1 и, кроме того, не более двух гладких дуг кривой B_2 . Например, в случае трех действительных корней уравнения (14) кривая B_1 состоит из шести гладких дуг, вдоль которых, как следует из (13), величина g монотонно возрастает с ростом h . Каждой точке кривой B_1 соответствует одна критическая точка функции $U_g(\boldsymbol{\nu})$ на сфере. На гладких дугах кривой B_2 , как следует из (16), величина g также монотонно возрастает с ростом h . Каждой точке кривой B_2 соответствует пара критических точек функции $U_g(\boldsymbol{\nu})$ на сфере. В результате находим, что число критических точек функции $U_g(\boldsymbol{\nu})$, зависящей от g , не может быть выше десяти. Если линия уровня $g = \text{const}$ проходит через особую точку диаграммы Σ , то при этом число критических точек приведенного потенциала не увеличивается, так как каждая особая точка соединяет несколько гладких дуг, а изолированных точек диаграмма Σ не имеет. \square

Заметим, что в предположении $r_3 = 0$ примеры приведенных потенциалов с десятью критическими точками были указаны Я.В. Татариновым [4, 9].

Следствие 1. Асимметричное твердое тело, центр масс которого находится в главной плоскости инерции, имеет не менее двух, но не более десяти равномерных вращений при каждом фиксированном значении интеграла G .

Следствие 2. Осесимметричное твердое тело, центр масс которого не принадлежит оси динамической симметрии, имеет не менее двух, но не более шести равномерных вращений при каждом фиксированном значении интеграла G .

Основные типы бифуркационных диаграмм для параметров, удовлетворяющих не-

Табл. 2. Неособые интегральные многообразия и их проекции на сферу

$\#$	i	ii	iii	iv	v	vi	vii	$viii$
l	0	1	2	3	4	11	12	111
$\mathcal{U}_{h,g}$	S^2	D^2	$D^1 \times S^1$	D_2^2	D_3^2	$D^2 \cup D^2$	$D^2 \cup (D^1 \times S^1)$	$D^2 \cup D^2 \cup D^2$
$\mathcal{Q}_{h,g}^3$	$\mathbb{R}P^3$	S^3	$S^1 \times S^2$	N_2^3	N_3^3	$S^3 \cup S^3$	$S^3 \cup (S^1 \times S^2)$	$S^3 \cup S^3 \cup S^3$

равенствам $A_1 > A_3 > A_2$, $r_*^2 > (\beta - \alpha)$, показаны на рис. 2 в работе [13]. При этом условии, обобщающем условия Гесса и Гриоли, полный список неособых изоэнергетических поверхностей $\mathcal{Q}_{h,g}^3$ содержит пять типов 3-многообразий: $\mathbb{R}P^3$, S^3 , $S^1 \times S^2$, $S^3 \cup S^3$, $S^3 \cup (S^1 \times S^2)$. Пример более сложной диаграммы приведен на рис. 3: отмечены области с различными типами интегральных многообразий, еще три области ($l = 2, 3, 4$) расположены в треугольнике P_0, P_2, P_3 .

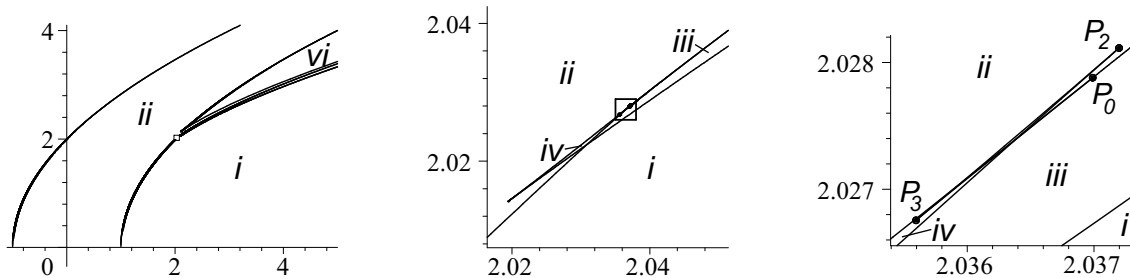


Рис. 3. Бифуркационная диаграмма для $\alpha = 0.59$, $\beta = 0.565$, $r_* = 0.05337$.

ТЕОРЕМА 5. В случае, когда центр масс твердого тела находится в одной из главных плоскостей инерции, топологическая структура неособых многообразий $\mathcal{Q}_{h,g}^3, \mathcal{U}_{h,g}$ определяется таблицей 2.

Доказательство теоремы 5 выходит за рамки настоящей работы. Укажем лишь значения параметров, при которых существует неособое многообразие $\mathcal{Q}_{h,g}^3$ рода $l = 4$:

$$A = (2.0, 1.18, 1.13), \quad \mathbf{r} = (0.99849, 0.054917, 0.0), \quad h = 2.034237, \quad g = 2.02485.$$

Топологический тип многообразия $\mathcal{Q}_{h,g}^3$ не меняется при малом возмущении указанных параметров. В частности, в задаче о движении тяжелого гиростата вокруг неподвижной точки существуют все типы многообразий, перечисленные в табл. 2.

5. Об устойчивости равномерных вращений. Знание характера критических точек приведенного потенциала позволяет исследовать устойчивость равномерных вращений. Если функция $U_g(\boldsymbol{\nu})$ имеет минимум, то равномерное вращение в этой точке устойчиво; если функция $U_g(\boldsymbol{\nu})$ имеет седло, то равномерное вращение в этой точке неустойчиво; для точки, где $U_g(\boldsymbol{\nu})$ имеет максимум, непосредственных выводов об устойчивости сделать нельзя. Как показано в работах [4, 7], гладкие кривые, соответствующие минимумам, максимумам и седлам приведенного потенциала, могут быть выделены достаточно просто на любой бифуркационной диаграмме. При этом следует иметь в виду, что на каждом фиксированном уровне интеграла G разность числа минимаксных и числа седловых точек приведенного потенциала $U_g(\boldsymbol{\nu})$ равна эйлеровой характеристики сферы (то есть двум).

Принципиально иной подход к исследованию устойчивых вращений был развит Н.Г.Четаевым и В.В.Румянцевым. В работе [14] построена функция Ляпунова в форме связки интегралов линеаризованных уравнений возмущенного движения и получены

достаточные условия устойчивости равномерных вращений твердого тела с неподвижной точкой. В наших обозначениях и при ограничениях (7) эти достаточные условия устойчивости равномерных вращений (9) имеют вид

$$\begin{aligned} 1) \quad & (\alpha - \beta)(1 + \tau^2)^{\frac{1}{2}}(\tau - \tau_0)\tau^{-1} > 0, \quad 2) \quad \tilde{\mu} - (1 + \tau^2)^{\frac{3}{2}} > 0, \\ 3) \quad & \left[(r_* - \tau^3)(1 + \tau^2)^{-\frac{3}{2}}\tilde{\mu} - r_* \right] \tau^{-1} > 0, \end{aligned} \quad (22)$$

где $\tilde{\mu}$ – произвольная постоянная. Аналогичные достаточные условия устойчивости равномерных вращений (10) записываются в следующей форме

$$\begin{aligned} (1) \quad & \tilde{\mu}(\beta - 1)(\beta - \alpha)(1 - \sigma_0\sigma^4) > 0, \quad (2) \quad \tilde{\mu}\sigma^6 + (\beta - 1) > 0, \\ (3) \quad & \tilde{\mu}\sigma^6r_*^2(\beta - 1)^3(\beta - \alpha)^{-2} + (\beta - \alpha)\tilde{\mu}\sigma^6 + (\beta - 1)(\beta - \alpha) > 0. \end{aligned} \quad (23)$$

При выполнении неравенств (22), (23) равномерные вращения (9), (10) являются устойчивыми по отношению к переменным $\omega_1, \omega_2, \omega_3, \nu_1, \nu_2, \nu_3$ [14]. С помощью условий (22), (23) В.В.Румянцев выделил на конусе Штауде области устойчивости. Следующие из условий (22), (23) границы областей устойчивости можно уточнить – они должны соответствовать бесконечно удаленным точкам, точкам ветвления или возврата кривых на бифуркационных диаграммах. Заметим, что найденные в работе [14] устойчивые вращения соответствуют только точкам минимума приведенного потенциала.

1. Болсинов А.В., Фоменко А.Т. Интегрируемые гамильтоновы системы. Геометрия, топология, классификация. – Ижевск: Удмуртский ун-т, 1999. – Т. 2. – 448 с.
2. Смейл С. Топология и механика// Успехи матем. наук. – 1972. – **27**, вып. 2. – С. 77–121.
3. Iacob A. Invariant manifolds in motion of a rigid body about a fixed point// Rev. Roum. Math. Pures et Appl. – 1971. – **16**, № 10. – Р. 1497–1521.
4. Татаринов Я.В. Портреты классических интегралов задачи о вращении твердого тела вокруг неподвижной точки// Вестн. Моск. ун-та. Сер. Математика и механика. – 1974. – № 6. – С. 99–105.
5. Oshemkov A.A. Fomenko invariants for the main integrable cases of the rigid body motion equations// Advances in Sov. Math. – 1991. – **6**. – Р. 67–146.
6. McCord C.K., Meyer K.R., Wang Q. The integral manifolds of the three body problem// Memoirs of the AMS. – 1998. – **132**, № 628. – 91 р.
7. Каток С.Б. Бифуркационные множества и интегральные многообразия в задаче о движении тяжелого твердого тела// Успехи матем. наук. – 1972. – **27**, вып. 2. – С. 126–132.
8. Татаринов Я.В. К исследованию фазовой топологии компактных конфигураций с симметрией// Вестн. Моск. ун-та. Сер. Математика и механика. – 1973. – № 5. – С. 70–77.
9. Татаринов Я.В. Геометрическая теория симметрии и топологический анализ интегралов в динамике твердого тела. Дис. ... канд. физ.-мат. наук. – М.: МГУ, 1975. – 141 с.
10. Арнольд В.И. Математические методы классической механики. – М.: Наука, 1974. – 432 с.
11. Abraham R., Marsden J.E. Foundations of Mechanics, 2nd Ed. – London, etc.: Benjamin/Cummings, 1978. – 806 р.
12. Кузьмина Р.П. О бифуркационном множестве в задаче о движении тяжелого твердого тела с неподвижной точкой// Изв. АН СССР. Механика твердого тела. – 1982. – № 1. – С. 3–10.
13. Гашененко И.Н., Кучер Е.Ю. Анализ изоэнергетических поверхностей для точных решений задачи о движении твердого тела// Механика твердого тела. – 2001. – Вып. 31. – С. 18–30.
14. Румянцев В.В. Устойчивость перманентных вращений тяжелого твердого тела// Прикл. математика и механика. – 1956. – **XX**, вып. 1. – С. 51–66.